

АКАДЕМИЯ НАУК СОЮЗА ССР
ГОСУДАРСТВЕННЫЙ КОМИТЕТ
ПО ИСПОЛЬЗОВАНИЮ
АТОМНОЙ ЭНЕРГИИ СССР

Атомная
Энергия

АТОМИЗДАТ ■ МОСКВА ■ 1968

Том 25 ■ Декабрь ■ Вып. 6

Главный редактор
М. Д. МИЛЛИОНИЦЫКОВ

Заместители главного
редактора:
Н. А. ВЛАСОВ, Н. А. КОЛОКОЛЬЦОВ

РЕДАКЦИОННАЯ КОЛЛЕГИЯ:

А. И. АЛИХАНОВ, А. А. БОЧВАР, А. Н. ВИНОГРАДОВ, И. Н. ГОЛОВИН,
Н. А. ДОЛЛЕКАЛЬ, А. Н. ЗЕФИРОВ, В. Ф. КАЛИНИН, А. К. КРАСИН,
А. И. ЛЕЙБУНСКИЙ, В. В. МАТВЕЕВ, М. Г. МЕЩЕРЯКОВ, И. И. ПАЛЕЙ,
Д. Л. СИМОНЕНКО, В. И. СМИРНОВ, В. С. ФУРСОВ, В. Б. ШЕВЧЕНКО.

СОДЕРЖАНИЕ

СТАТЬИ

Н. И. Альханов, И. Н. Коренков, И. И. Монсейцев. Уровни внешнего облучения персонала при работе с различными источниками излучений	463
Г. Б. Хеинин. Расчет состава топлива и характеристики быстрого энергетического реактора в установившемся режиме	466
В. И. Грицков, В. А. Афанасьев, Г. А. Санковский, Р. А. Шугам, И. И. Соколов, Ю. А. Соловьев. Исследование системы автоматического регулирования атомной энергетической установки с быстрым реактором	469
В. Н. Плотников, Л. М. Финогйт. К выводу управления динамикой парососедорожий в парогенерирующих каналах при кипении непогретой воды Р. Г. Васильев, В. И. Гольданецкий, Я. В. Рыниничев, О. С. Луценко, Б. А. Нименов. Изотропные выходы и потоки тепловых нейтронов в системах синтез — вода, бомбардируемой проприями ядерами энергии	474
А. И. Тугаринов, Г. Е. Ордынен, Р. И. Нечипорова, Е. И. Крыльков. Об испытании наращиваний изотопного состава синтеза при изучении урано-никелевого региона	479
В. С. Еремеев. Исследование структуры ядерного изотопа из монокарбоната урана в магнитном поле фрагментов	483
А. В. Анизов, Е. С. Анизина, И. И. Назей, Р. А. Шубильдова. Составление японской Ра(У) и распределение галлонодибориевой изотопии	489
Ю. А. Сахаровский, А. Д. Зелкевич. Экспериментальное определение коэффициента разделения при изотопическом обмене между жидким азотом и изотопами	493
И. А. Конан, Л. М. Козоровиний, И. М. Подгорный, В. А. Рисанов, В. И. Смирнов, А. М. Спектор, Д. А. Орлан-Компенский. Нагрев плазмы магнитно-затухающими волнами	503
Г. В. Воскесенский, Ю. Н. Серебряков. Различие поверхности неустойчивости пучка электронов в кинематическом ускорителе	507
АНОТАЦИИ ДЕМОНИРОВАННЫХ СТАТЕЙ	514
Г. А. Санковский, В. И. Грицков, Л. Л. Платонцева, В. И. Плотников. Методика исследования устойчивости водо-водяного кипящего реактора	518
В. Б. Дубровский, И. Ш. Ибрагимов, М. Я. Касий, А. М. Надолгин, Б. К. Нергамен циональной стойкости серпентинового б	522
Г. Я. Руминев, В. С. Дмитриева. Исс чесение Ru^{106} -приближения в зада	526
чесии нейтронов в среде с пустым и	526
А. И. Иванов, Н. Ф. Прайдик. Возможности использования мозибена и вольв	528
ма для оценки	528
атомистического распределения	528
яков быстрых	528
нейтронов в реакторе	528
Д. Бродэр, С. А. Коэзловский, В. С. Кильевор, К. К. Понков, А. А. Сметанин. Прохождение	531
быстрых нейтронов и γ -излучения через прямо- угольные пустые цели	531
И. Н. Зольников, К. А. Суханова, Б. Л. Денинилов. Энергетическое и пространственное распределение	534
обратно рассеянного γ -излучения	534
И. К. Карапетян. Полюсалярные волны и минимумы	538
среднегеометрического магнитного поля в двухахионном стелл	538
и. К. Карапетян. Возможность существования магнитной ямы в комбинированном поле одно- и двухахионного стеллаторов	549
М. И. Авраменко, В. С. Кузинек. К вопросу о рас- щеплении фазовой фокусировки интенсивных ионных	549
струек	550
ПОСЛАНИЯ В РЕДАКЦИЮ	553
Э. А. Стумбур. О некоторых интегральных соотноше- ниях в теории реакторов	553
О. А. Мицлер, А. М. Демидов, Ф. Я. Овчинников, Л. И. Голубев, М. А. Сунчуганов. Гамма- спектр теплоносителя реактора первого блока	554
Ново-Воронежской АЭС	554
Г. Р. Занкин, И. А. Корка, Н. Т. Склир, И. А. Тонкий. Сечение радиационного захвата быстрых нейтронов	556
изотопами Cu^{65} , Cu^{67} и W^{186}	556
С. Б. Ергамиштов, Г. Н. Смирненкин. Сечение	557
дисперсии Ru^{106} быстрыми нейтронами	557
А. Г. Добрович, В. Е. Гричев, В. П. Королева, В. А. Ткаченко, Ю. Н. Шубин. Сечение радиационного захвата нейтронов с энергией	559
0,2–3 МэВ изотопами Ta^{182} и Ta^{186}	559
Л. И. Прохорова, Г. Н. Смирненкин, Ю. М. Турчин. Среднее число мгновенных нейтронов при спон-	560
тированном делении Ru^{106}	560

ЛИТЕРАТУРА

1. R. Guillaumont. Rev. chim. minerale, 3, 339 (1966).
2. R. Guillaumont, C. Miranda, Ibid., p. 861.
3. A. Casev, A. Maddock. J. Inorg. and Nucl. Chem., 10, 289 (1959).
4. Е. С. Пальшин, Б. Ф. Мясоедов, А. В. Давыдов. Аналитическая химия протактина. М., «Наука», 1968, стр. 36.
5. A. Chetham-Strode, O. Keller. Physico-chimie du protactinium. Pub. No. 154. Centre nat. de la recherche scient. Paris, 1966, p. 189.
6. K. Kraus, G. Moore, F. Nelson. J. Amer. Chem. Soc., 78, 2692 (1956).
7. K. Kraus, G. Moore. J. Amer. Chem. Soc., 77, 1383 (1955).
8. P. Guillot. См. [5], р. 239.
9. Б. Я. Мясоедов, Е. С. Пальшин. «Ж. аналит. химии», 18, 596 (1963).
10. И. М. Гибало. Аналитическая химия ниobia и тантала. М., «Наука», 1967.
11. F. Nelson, T. Murase, K. Kraus. J. Chromatograph., 13, 503 (1964).
12. J. Vergnois. J. Chromatograph., 2, 155 (1959).
13. H. Scherff, G. Hermann. Radiochim. acta, 6, 53 (1966).
14. J. Kanzelmeuer, J. Rayan, H. Fred. J. Amer. Chem. Soc., 78, 3020 (1956).

Экспериментальное определение величины коэффициента разделения при изотопном обмене между жидким аммиаком и водородом

Ю. А. САХАРОВСКИЙ, Я. Д. ЗЕЛЬВЕНСКИЙ

УДК 621.039.3

Реакция изотопного обмена между жидким аммиаком и водородом $(\text{NH}_3)_{\text{ж}} + \text{HD} \rightleftharpoons (\text{NH}_2\text{D})_{\text{ж}} + \text{H}_2$ представляет большой интерес для использования в промышленном производстве тяжелой воды по двухтемпературной схеме. Основные результаты экспериментальных исследований, опубликованные до 1964 г., приведены в обзоре [1]. В последние годы за рубежом эти работы продолжались на стадии полупромышленных испытаний [2, 3]. Во Франции в настоящее время строится завод по производству тяжелой воды, на котором в качестве рабочих веществ будут использованы жидкий аммиак и водород [4].

Одной из основных характеристик процесса разделения является коэффициент разделения α . При осуществлении процесса по двухтемпературной схеме решающее значение имеет зависимость α от температуры. Эта зависимость для рассматриваемой системы описывается уравнением [5]

$$\lg \alpha = \frac{237}{T} - 0,2428, \quad (1)$$

которое получено расчетным путем и лишь недавно проверено экспериментально [6]. Уравнение (1) выведено для области малых концентраций дейтерия и не учитывает наличия молекул, содержащих более одного атома дейтерия в аммиаке, число которых увеличивается с ростом общей концентрации тяжелого изотопа.

Цель настоящей работы — экспериментально изучить зависимость коэффициента разделе-

ния от температуры и изотопной концентрации обменивающихся фаз. Измерения охватывали широкий интервал температур от -70 до $+100^{\circ}\text{C}$ и давлений от $0,5$ до 150 атм.

Для определения коэффициента разделения применялся метод непосредственного измерения соответствующих равновесных фаз. Схема установки, на которой выполнены измерения, приведена на рис. 1. Опыты при повышенных давлениях (до 150 атм) проводились в стальном реакторе с падающей электромагнитной мешалкой (рис. 2). Частота падения мешалки задавалась с помощью реле времени и регистрировалась электромагнитным счетчиком. Опыты при давлении меньше атмосферного проводились в стеклянном реакторе с вращающейся магнитной мешалкой.

Для опытов использовали обогащенный дейтерием аммиак и водород природного изотопного состава. Аммиак предварительно осушали металлическим калием и дважды перегоняли. Водород очищали от азота и кислорода сорбцией на цеолите при температуре жидкого азота.

Чистоту газа контролировали путем сравнения теплопроводностей очищенного газа и газа, пропущенного через палладиевую мембранию. Чтобы ускорить установление равновесия, в аммиаке растворяли амид калия, являющийся катализатором реакции изотопного обмена. Выбиралось такое соотношение жидкой и газовой фаз, чтобы изменением изотопного состава жидкой фазы можно было пренебречь.

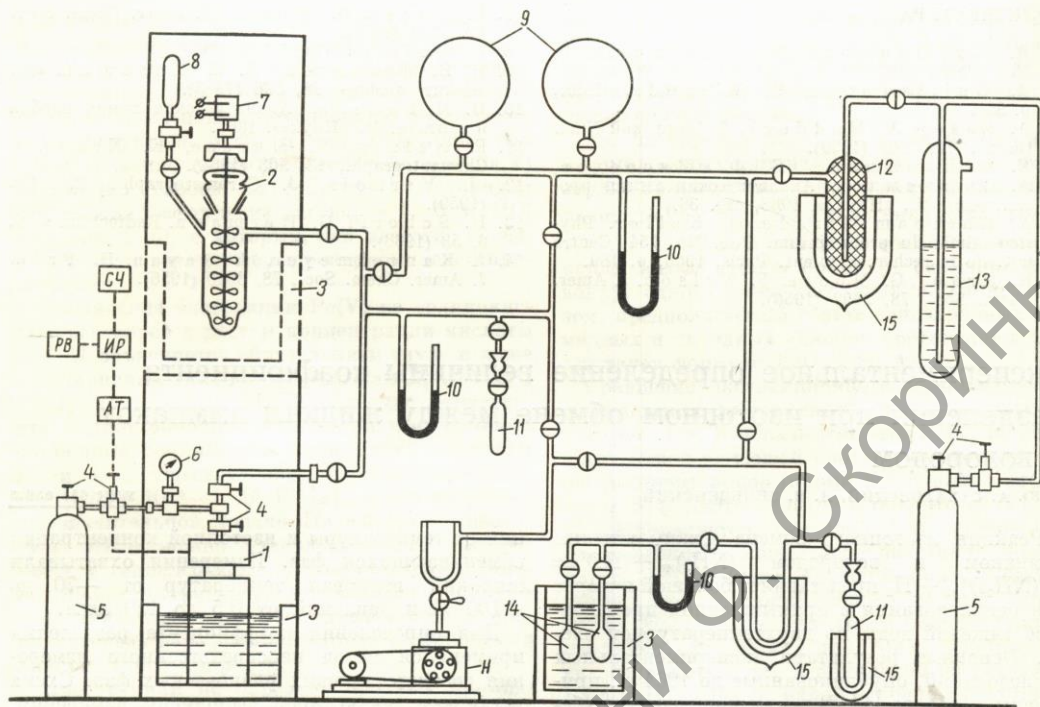


Рис. 1. Схема экспериментальной установки:

1 — стальной реактор; 2 — стеклянный реактор; 3 — термостаты; 4 — вентили; 5 — баллоны для хранения очищенного водорода; 6 — образцовый манометр; 7 — электромотор; 8 — ампула с жидким аммиаком; 9 — емкости для хранения H_2 и D_2 ; 10 — ртутные манометры; 11 — ампулы для отбора проб; 12 — ловушка с цеолитом; 13 — маностат с глицерином; 14 — ячейки для измерения теплопроводности; 15 — сосуды Дьюара с жидким азотом; AT — лабораторный автотрансформатор; IR — исполнительное реле; PB — реле времени; СЧ — электромагнитный счетчик; H — вакуумный насос.

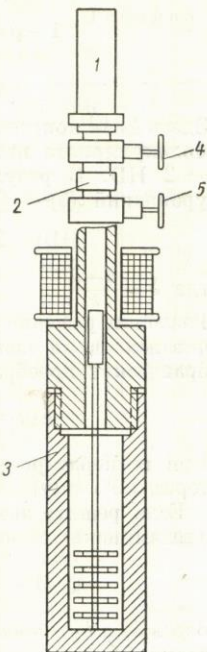
Изотопный анализ аммиака проводили дважды: перед началом и по окончании серии опытов. В первом случае часть аммиака, загруженного в обменный реактор, отгоняли и сжигали в печи с окисью меди. Полнота сжигания контролировалась реагентом Несслера. Собранный конденсат анализировали капельным методом. Во втором случае аммиак предварительно замораживали жидким азотом и реактор откачивали для удаления водорода, после чего аммиак сжигали и анализировали, как указано выше. Во всех проведенных опытах изотопный состав проб аммиака, отобранных на анализ до и после проведения серии опытов, совпадал в пределах ошибки анализа.

Изотопный состав водорода определяли по теплопроводности. Анализируемая проба освобождалась от аммиака вымораживанием в ловушках, охлаждаемых жидким азотом, направ-

лялась в сосуд с платиновым катализатором (на котором устанавливалось равновесие реакции изотопного обмена $H_2 + D_2 \rightleftharpoons 2HD$), затем поступала в ячейку объемом 3 см³ для анализа. В качестве чувствительного элемента использовали платиновую проволоку диаметром 20 мк (сопротивление ячейки 300 ом). Содержаниедейтерия определяли с помощью калибровочного графика, построенного для равновесной смеси ($H_2 + D_2 + HD$). Абсолютная погрешность отдельного измерения при определении содержания дейтерия составляла $\pm 0,1$ мол. %. Во всех опытах придерживались следующей методики измерения. Реактор откачивали до остаточного давления $5 \cdot 10^{-3}$ мм рт. ст. Затем соединяли его с предварительно взвешенной ампулой, содержащей раствор амида калия в аммиаке (концентрация раствора 0,8 + 1,5 моль/л), как показано на рис. 2, и переливали

Рис. 2. Реактор с падающей электромагнитной мешалкой и сборкой для загрузки жидкого аммиака:

1 — ампула с краном 4; 2 — отборный штуцер; 3 — реактор; 5 — запорный вентиль.



раствор амида, после чего ампулу вновь взвешивали. Реактор помещали в термостат и устанавливали заданную температуру. Затем напускали газ и измеряли его давление с помощью образцового манометра. Точность измерения $\pm 0,2$ атм. Убедившись в герметичности системы, включали мешалку и спустя некоторое время отбирали пробы газа на анализ.

В каждой серии опытов (серии мы называем несколько опытов, проведенных с одной и той же загрузкой аммиака и водорода) измерения начинали с некоторой промежуточной температуры. Затем температуру повышали до $+95^\circ\text{C}$ или понижали до -70°C через определенные (15 — 20°C) интервалы. После достижения предельной температуры проводили повторные измерения, изменения температуру в обратном порядке.

Таким образом, в каждой серии опытов коэффициент разделения определялся при заданной температуре два-три раза, при этом подход к равновесию осуществлялся с двух сторон: со стороны жидкости при нагревании и со стороны газа при охлаждении.

Результаты опытов и их обсуждение

В табл. 1 приведены результаты определений коэффициента разделения. Значения изотопных концентраций в газовой фазе y являются средними величинами, полученными в нескольких повторных опытах данной серии.

Измерения проведены при общем давлении в системе от 25 до 90 атм. В специальной серии опытов было показано, что величина α при изменении давления от 1 до 100 атм при постоянной температуре остается постоянной в пределах точности измерений.

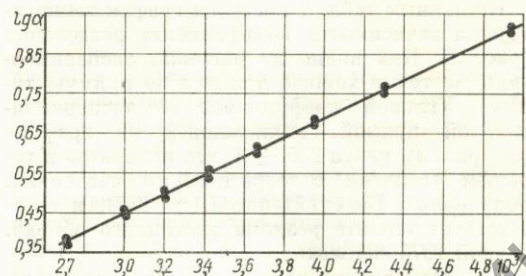


Рис. 3. Зависимость коэффициента разделения от температуры.

Величину коэффициента разделения рассчитывали по уравнению

$$\alpha = \frac{x}{y} \cdot \frac{1-y}{1-x} \quad (2)$$

где x и y — равновесные концентрации дейтерия соответственно в аммиаке и водороде. Для сравнения в последнем столбце табл. 1 указаны значения коэффициента разделения, вычисленные по уравнению Бигелайзена [см. (1)].

Значения коэффициентов разделения при различных температурах и концентрациях дейтерия Таблица 1

$T, ^\circ\text{C}$	x	y	α	α_0
-70	0,335 0,488	0,060 0,108	$7,91 \pm 0,16$ $7,88 \pm 0,11$	8,35
-40	0,335 0,488	0,081 0,143	$5,74 \pm 0,07$ $5,72 \pm 0,07$	5,92
-20	0,335 0,488	0,095 0,169	$4,80 \pm 0,05$ $4,68 \pm 0,04$	4,95
0	0,335 0,488	0,109 0,191	$4,12 \pm 0,04$ $4,03 \pm 0,03$	4,22
+20	0,335 0,488 0,514 0,700	0,126 0,219 0,238 0,410	$3,50 \pm 0,03$ $3,41 \pm 0,03$ $3,40 \pm 0,03$ $3,36 \pm 0,02$	3,68
+40	0,335 0,488 0,700	0,137 0,237 0,435	$3,17 \pm 0,03$ $3,06 \pm 0,02$ $3,02 \pm 0,02$	3,27
+60	0,335 0,488	0,150 0,258	$2,85 \pm 0,03$ $2,75 \pm 0,03$	2,96
+95	0,335 0,488	0,174 0,288	$2,40 \pm 0,03$ $2,36 \pm 0,03$	2,53

По данным табл. 1 построен график температурной зависимости коэффициента разделения (рис. 3). Как видно из рисунка, экспериментальные точки хорошо ложатся на прямую линию. Угловой коэффициент A экспериментальной прямой, вычисленный из графика (см. рис. 3), равен 235 ± 3 , что находится в хорошем согласии с теоретическим значением, полученным Бигелайзеном ($A = 237$), и соответствует теплоте реакции изотопного обмена, равной 1075 кал/моль.

Из рассмотрения табл. 1 следует, что экспериментальные значения α на 5–10% ниже значений, рассчитанных по уравнению Бигелайзена, причем величина этого расхождения растет с повышением концентрациидейтерия (экспериментальные значения α уменьшаются с ростом концентраций дейтерия).

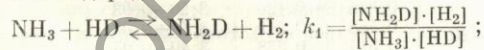
Наблюдаемая зависимость коэффициента разделения от концентрации дейтерия связана с отклонением соотношения различных изотопно замещенных форм молекул амиака и водорода от равновероятного распределения и может быть учтена следующим образом. Принимая во внимание все возможные изотопные формы молекул, запишем коэффициент разделения рассматриваемой системы в общем виде:

$$\alpha = \frac{x}{1-x} \cdot \frac{1-y}{y} = \frac{\frac{1}{3} [\text{NH}_2\text{D}] + \frac{2}{3} [\text{NHD}_2]}{[\text{NH}_3] + \frac{2}{3} [\text{NH}_2\text{D}]} + \frac{[\text{ND}_3]}{\frac{1}{3} [\text{NHD}_2]} \cdot \frac{\frac{1}{2} (\text{HD}) + [\text{H}_2]}{\frac{1}{2} [\text{HD}] + [\text{D}_2]} \quad (3)$$

Уравнение (3) легко привести к более простому виду:

$$\alpha = \frac{2}{3} k_1 \psi(x) \psi(y). \quad (4)$$

Здесь k_1 — константа равновесия реакции изотопного обмена монозамещенных молекул амиака и водорода:



$\psi(x)$ и $\psi(y)$ — функции, учитывающие отклонение от равновероятного распределения изотопов соответственно в амиаке и водороде.

Чтобы учесть влияние отклонения от равновесного распределения в водороде, решим следующую систему уравнений, воспользовавшись предложенным ранее методом [7]:

$$y = [\text{D}_2] + \frac{1}{2} [\text{HD}]; \quad (5)$$

$$1 - y = [\text{H}_2] + \frac{1}{2} [\text{HD}]; \quad (6)$$

$$k_0 = \frac{[\text{HD}]^2}{[\text{H}_2] \cdot [\text{D}_2]}. \quad (7)$$

Здесь k_0 — константа равновесия реакции гомомолекулярного изотопного обмена $\text{H}_2 + \text{D}_2 \rightleftharpoons 2 \text{ HD}$. В результате совместного решения уравнений (5) — (7) получаем

$$[\text{HD}] = 2y(1-y) - \frac{[\text{HD}]^2}{2}\delta, \quad (8)$$

$$\text{где } \delta = \frac{4-k_0}{k_0}.$$

Разложив решение уравнения (8) в ряд и ограничиваясь двумя членами разложения, после алгебраических преобразований получим

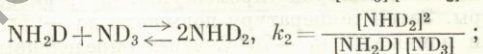
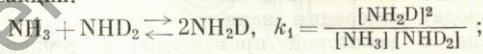
$$\varphi(y) = 1 - \frac{\delta y}{1 + \delta y^2}. \quad (9)$$

При температуре $+20^\circ\text{C}$ и концентрации дейтерия 50% $\varphi(y) = 0,89$.

Если решить аналогичную систему уравнений для амиака, то нетрудно показать, что

$$\psi(x) = \frac{3}{k_2} \cdot \frac{b^2 k_2 + 2 b k_2 + 3}{b^2 3 + 2 b k_1 + k_1}. \quad (10)$$

Здесь k_1 и k_2 — константы равновесия следующих реакций:



$$b = \frac{[\text{NH}_2\text{D}]}{[\text{NHD}_2]} = \frac{1-x}{x} \cdot \frac{k_1}{k_2} \left(1 - \frac{k_1 - k_2}{k_1 - 2} \right);$$

в последнем выражении x — концентрация дейтерия в амиаке. Подставив в (10) значения k_1 и k_2 , равные соответственно 2,94 и 2,90 [8] при температуре $+25^\circ\text{C}$, и приняв концентрацию дейтерия в амиаке равной 50%, найдем значение $\psi(x) = 1,01$. Величина $\psi(x)$ слабо зависит от температуры и концентрации и в дальнейшем с достаточной степенью точности может быть принята равной 1.

Подставив (9) в (4), получим уравнение, учитывающее зависимость α от концентрации

$$\alpha = \alpha_0 \left(1 - \frac{\delta y}{1 + \delta y^2} \right), \quad (11)$$

где $\alpha_0 = \frac{2}{3} k_1$ — значение коэффициента разделения, полученное Бигелайзеном для области малых концентраций. Когда y мало, $\alpha = \alpha_0$. В табл. 2 приведены значения коэффициента разделения, рассчитанные по уравнению (11). Там же для сравнения приведены экспериментальные значения α . Как видно из таблицы,

Сравнение экспериментальных
и рассчитанных по уравнению (11)
значений коэффициентов разделения

Таблица 2

$T, ^\circ\text{C}$	y	α (эксперимент)	α (по уравнению (11))	δ^*
-70	0,060	$7,91 \pm 0,16$	8,15	0,385
	0,108	$7,83 \pm 0,11$	7,98	
-40	0,081	$5,74 \pm 0,07$	5,75	0,316
	0,143	$5,72 \pm 0,07$	5,65	
-20	0,095	$4,80 \pm 0,05$	4,81	0,282
	0,169	$4,68 \pm 0,04$	4,71	
0	0,109	$4,12 \pm 0,04$	4,10	0,262
	0,191	$4,03 \pm 0,03$	4,01	
+20	0,126	$3,50 \pm 0,03$	3,57	0,231
	0,219	$3,41 \pm 0,03$	3,48	
	0,238	$3,40 \pm 0,03$	3,47	
	0,410	$3,36 \pm 0,02$	3,33	
+40	0,137	$3,47 \pm 0,03$	3,18	0,208
	0,237	$3,06 \pm 0,02$	3,10	
	0,435	$3,02 \pm 0,02$	2,97	
+60	0,150	$2,85 \pm 0,03$	2,87	0,190
	0,258	$2,75 \pm 0,03$	2,81	
+95	0,174	$2,40 \pm 0,03$	2,44	0,175
	0,288	$2,36 \pm 0,03$	2,40	

* При расчете величины δ были использованы значения констант равновесия k_0 , приведенные в работе [8].

расчетные и экспериментальные величины достаточно хорошо совпадают. Следовательно, уравнение (11) можно рекомендовать для вычисления коэффициентов разделения в широкой области концентраций дейтерия.

Выводы

1. Проведено экспериментальное определение коэффициента разделения изотопов водорода при обмене между водородом и жидким аммиаком в широком температурном интервале от -70 до $+95^\circ\text{C}$.

2. Найдено, что зависимость α от температуры выражается уравнением $\lg \alpha = A/T + B$, причем величина коэффициента $A = 235$, что хорошо согласуется с расчетными данными Бигеляйзена.

3. Экспериментально установлено, что коэффициент разделения существенно зависит от концентрации дейтерия. Предложено уравнение, удовлетворительно описывающее зависимость α от концентрации.

4. В области малых концентраций дейтерия для определения можно использовать данные Бигеляйзена.

Поступила в Редакцию 18/X 1967 г.

ЛИТЕРАТУРА

- С. Е. Каинина, Б. А. Трубицын, И. М. Гельперин. «Химическая промышленность», № 11, 861 (1965).
- Chem. Ingr.-Techn., 37, 1185 (1965).
- В. Легапсо и др. Доклад 28/P/91, представленный Францией на Третью международную конференцию по мирному использованию атомной энергии (Киеве, 1964).
- Nucl. Engng, 9, 405 (1965).
- М. Перлман, Ж. Бигеляйзен. J. chim. phys. et phys.-chim. biol., 21, 70 (1953).
- Г. Дирлан, Ж. Равоир. J. Chem. phys., 60, 130 (1963).
- А. М. Розен. Теория разделения изотопов в колоннах. М., Атомиздат, 1958.
- И. Киршебаум. Тяжелая вода. М., Изд-во иностр. лит., 1953.

Нагрев плазмы магнитно-звуковыми волнами

И. А. КОВАН, Л. Л. КОЗОРОВИЦКИЙ, И. М. ПОДГОРНЫЙ, В. Д. РУСАНОВ,
В. П. СМИРНОВ, А. М. СПЕКТОР, Д. А. ФРАНК-КАМЕНЕЦКИЙ

УДК 533.9

по сравнению с амплитудой поля в вакууме (эффект пространственного усиления переменного поля) описано в работах [3, 4].

В настоящей работе рассмотрены возможности использования магнитно-звукового резонанса для нагревания ионной компоненты плазмы [5]. Принципиальная схема экспериментальной установки изображена на рис. 1. Цилиндрическая вакуумная камера, изготовленная из стекла, размещалась coaxialno с соленоидом, создающим постоянное магнитное поле напряженностью 2 кэ. Колебания в плазме воз-